



Li-Si-Zr 三元相图的实验研究与热力学优化

龙朝辉^{1,2,3}, 梁思远^{1,3}, 尹付成^{1,2,3}, 赵满秀^{1,3}, 李智^{1,3}, 刘永雄^{1,3}

1. 湘潭大学 材料设计及制备技术湖南省重点实验室, 湘潭 411105;
2. 湘潭大学 装备用关键薄膜材料及应用湖南省国防科技重点实验室, 湘潭 411105;
3. 湘潭大学 材料科学与工程学院, 湘潭 411105)

摘要: 采用平衡合金法, 利用扫描电镜和 X 射线衍射等方法对 Li-Si-Zr 三元系的 470K 等温截面的相关系进行了实验测量。结果表明: 该等温截面中存在(Si)+ZrSi₂+ZrLiSi 三相区; 采用 CALPHAD 方法对 Li-Si-Zr 三元系进行了热力学优化。首先优化计算了 Li-Zr 二元系, 其中熔体相(Liquid、BCC、FCC 和 HCP)采用替换溶液模型, 过剩自由能用 Redlich-Kister 多项式展开; 然后, 结合文献中已有的 Li-Si 和 Si-Zr 体系的热力学参数, 对 Li-Si-Zr 三元系进行了热力学优化。计算结果与实验数据符合得较好, 获得了一套较为合理的热力学参数。

关键词: Li-Si-Zr 三元系; 相平衡; 平衡合金法; 热力学优化

中图分类号: TG113.14

文献标志码: A

Experimental study and thermodynamic assessment of Li-Si-Zr ternary system

LONG Zhao-hui^{1,2,3}, LIANG Si-yuan^{1,3}, YIN Fu-cheng^{1,2,3}, ZHAO Man-xiu^{1,3}, LI Zhi^{1,3}, LIU Yong-xiong^{1,3}

1. Key Laboratory of Materials Design and Preparation Technology of Hunan Province, Xiangtan University, Xiangtan 411105, China;
2. Hunan Provincial National Defense Key Laboratory of Key Film Materials and Application for Equipment, Xiangtan University, Xiangtan 411105, China;
3. School of Materials Science and Engineering, Xiangtan University, Xiangtan 411105, China)

Abstract: The isothermal section of the Li-Si-Zr ternary system at 470 K was studied through equilibrated alloy method by scanning electron microscopy and X-ray diffractometry. The results show that there is (Si)+ZrSi₂+ZrLiSi three-phase equilibrium at this isothermal section. Based on the measured data obtained in this work and some information on experimental phase diagram in literature, the thermodynamic assessment of the Li-Si-Zr ternary system was performed with the CALPHAD method. Firstly, the Li-Zr binary system was thermodynamically assessed. The solution phases including liquid, BCC, FCC and HCP were described with a substitutional model, of which the excess Gibbs energies were formulated with the Redlich-Kister polynomial. Then, combined with the thermodynamic parameters of the Li-Si and Si-Zr binary systems cited from literatures, the Li-Si-Zr ternary system was thermodynamically assessed. The calculated results agree well with the experimental data. A set of rational thermodynamic parameters for the ternary system are obtained.

Key words: Li-Si-Zr ternary system; phase equilibrium; equilibrated alloy method; thermodynamic assessment

硅作为锂离子电池负极, 其理论容量高达 4200 mA·h/g, 是已知材料中理论容量最高的元素^[1]。

但在锂离子嵌入硅负极的过程中, 硅的体积会产生较大膨胀, 导致内应力过大, 容易引起负极结构坍塌,

基金项目: 教育部高等学校博士学科点专项科研基金资助项目(20124301120010); 国家自然科学基金资助项目(51201146)

收稿日期: 2014-05-25; 修订日期: 2015-02-10

通信作者: 龙朝辉, 副教授, 博士; 电话: 0731-58292209; 传真: 0731-58292209; E-mail: zhaohuilong2004@126.com

从而使负极循环性能急剧下降, 电池使用寿命变短^[2-3]。将某些非嵌锂金属(如 Ag、Zr)与 Si 结合, 制备成复合材料能有效抑制嵌锂过程中的体积变化^[4]。据报道, Si-Zr 合金作为锂离子电池负极材料具有优异的循环充放电性能^[5]。

为了研究 Si-Zr 合金负极材料在嵌锂过程中可能形成的化合物, 以便确定 Si-Zr 合金负极的理论容量, 有必要对 Li-Si-Zr 三元体系的平衡相图进行研究。ZATORSKA 等^[6]测量了 Li-Si-Zr 三元系的 470 K 等温截面, 发现该体系存在 4 个三元化合物: $ZrLi_2Si$ 、 $ZrLiSi$ 、 $Zr_4Li_{1.38}Si_4$ 和 $Zr_{2-x}Li_{x+y}Si_{1-y}$ ($x=0.17$, $y=0.12$)。然而, ZATORSKA 等^[6]没有提供实验样品的微观组织照片或者 XRD 谱。如以 ZATORSKA 等^[6]的实验结果为基础, 采用 CALPHAD 方法对 Li-Si-Zr 三元系进行热力学优化, 难以获得能重现主要相关系的热力学参数。因此, 本文作者对 Li-Si-Zr 三元系在 470 K 等温截面进行了补充实验以确定其主要相关系, 并以实验获得的相图数据为基础, 采用 CALPHAD 方法对该体系进行热力学优化计算。

Li-Si-Zr 三元系中的二元及三元化合物晶体结构数据如表 1 所列。

1 实验

采用纯度为 99.99% 的锂块、纯度为 99.99% 的锆柱、纯度为 99.99% 的硅粒配制样品, 称量好的材料置于真空电弧熔炼炉内, 在 1.01×10^5 Pa 氩气氛围下进行 3 次反复熔炼。熔炼完毕后将样品放入事先准备的一端封闭的钽管内, 并将装有样品的钽管放入真空电弧熔炼炉中, 然后抽取真空, 在 1.01×10^5 Pa 氩气氛围下通过电弧焊合对钽管进行密封。将放入样品的密封钽管放入石英管中抽真空并在 1×10^{-3} Pa 真空氛围下密封石英管, 将密封好的石英管放入 470 K 退火炉内退火 720 h。退火完毕后, 将石英管取出进行水淬, 然后取出试样进行平面线切割、镶样, 采用 SEM(仪器型号: OXFORD-INCA)与 XRD(仪器型号: Dmax 2500VB)方法分析样品。其中, 试样的 XRD 分析采用铜靶及 K_α 射线进行测定, 扫描速度为 8 ($^\circ$)/min。

表 1 Li-Si-Zr 三元系中化合物晶体结构数据

Table 1 Crystallographic parameters of compounds in Li-Si-Zr ternary system

Compound	Space group	a/nm	b/nm	c/nm	Reference
$Li_{22}Si_5$	<i>F23</i>	1.8751			[7]
$Li_{12}Si_7$	<i>Pnma</i>	0.8610	1.9738	1.4341	[8]
$Li_{13}Si_4$	<i>Pbam</i>	0.7990	1.521	0.443	[9]
Li_7Si_3	$R\bar{3}m$	0.4435		1.8134	[10]
	<i>C2/m</i>	0.770	0.441 $\beta=113.4^\circ$	0.656	[11]
$ZrSi_2$	<i>Cmcm</i>	0.3721	1.4680	0.3683	[12]
$ZrSi$	<i>Pnma</i>	0.6995	0.3786	0.5296	[13]
	<i>Cmcm</i>	0.3757	0.9915	0.374	
Zr_5Si_4	<i>P4_12_12</i>	0.7123		1.3002	[14]
Zr_5Si_3	<i>P6_3/mcm</i>	0.7886		0.5558	[12]
Zr_3Si_2	<i>P4/mbm</i>	0.7082		0.3714	[15]
Zr_2Si	<i>I4/mcm</i>	0.6609		0.5294	[16]
Zr_3Si	<i>P4_2/n</i>	1.101		0.545	[12]
$ZrLi_2Si$	$P\bar{3}m1$	0.4340		1.7448	[6]
$ZrLiSi$	$P\bar{3}m1$	0.3239		0.5163	[6]
$Zr_4Li_{1.38}Si_4$	<i>Cmcm</i>	0.3769	0.9898	0.3757	[6]
$Zr_{2-x}Li_{x+y}Si_{1-y}$ ($x=0.17$, $y=0.12$)	<i>P2_1/m</i>	0.3701	0.3669 $\beta=103.7^\circ$	0.7581	[6]

2 结果与分析

合金试样成分设计如表 2 所列。

由于部分含锂合金试样具有脆性大、易氧化、遇水反应剧烈等特性, 不利于进行打磨抛光, 很难制备

表 2 实验试样成分及其 XRD 分析结果

Table 2 Compositions and phases identified by XRD of alloys

Alloy No.	Nominal composition, x/%			Phase identified by XRD
	Li	Si	Zr	
A1	8	45	47	Zr ₅ Si ₄ +ZrSi+Zr ₄ Li _{1.38} Si ₄
A2	8	50	42	ZrSi ₂ +ZrSi+Zr ₄ Li _{1.38} Si ₄
A3	11	71	18	(Si)+ZrSi ₂ +ZrLiSi

成金相样品, 因而难以获取这些合金试样的扫描电镜图像, 本实验中对此类合金试样采用 XRD 衍射分析方法检测其相组成。而对于硬度较大、性质相对稳定的合金试样, 本研究中结合 SEM 和 XRD 方法对实验样品进行检测分析。

图 1(a)和(b)所示分别为试样 A1 和 A2 在 470 K 温度下退火 720 h 后的 XRD 谱。由图 1 可知, A1 试样含有 Zr₅Si₄、ZrSi 和 Zr₄Li_{1.38}Si₄ 3 个相, A2 试样含有 ZrSi₂、ZrSi 和 Zr₄Li_{1.38}Si₄ 3 个相。其中三元化合物 Zr₄Li_{1.38}Si₄ 的 XRD 谱未收录于最新的 PDF 卡片中, 根据表 1 中化合物的晶体结构信息及 ZATORSKA 等^[6]报道的原子参数, 采用 Jade6.5 软件计算得到 Zr₄Li_{1.38}Si₄ 的衍射峰, 如图 2(a)所示。

图 3(a)和(b)所示分别为试样 A3 在 470 K 温度下退火 720 h 后的 XRD 谱和扫描电镜背散射电子像。在图 3(a)中标出了该试样所检测出的物相(其中, 三元化合物 ZrLiSi 的衍射峰是根据表一中的晶体结构信息与

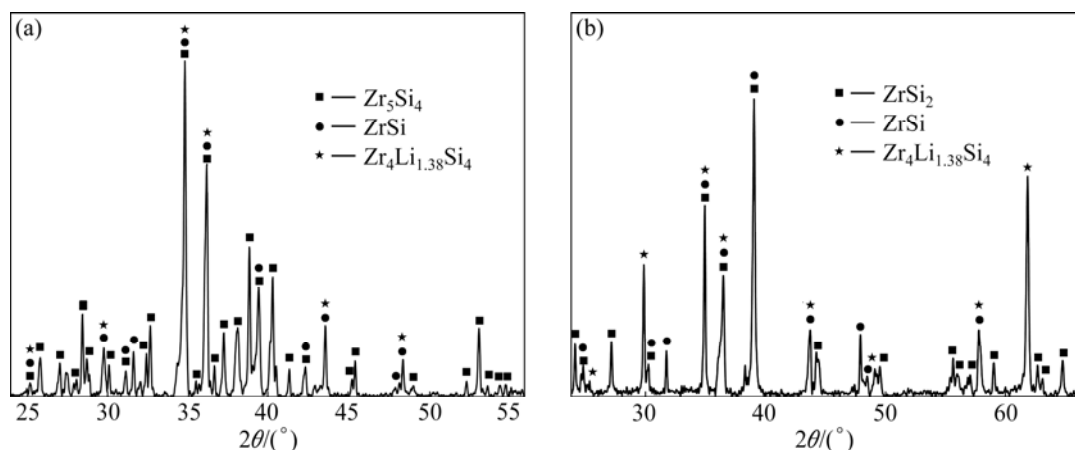


图 1 Li-Si-Zr 合金 A1 和 A2 在 470 K 退火 720 h 后的 XRD 谱

Fig. 1 XRD patterns of Li-Si-Zr alloys A1 and A2 annealed at 470 K for 720 h: (a) Alloy A1; (b) Alloy A2

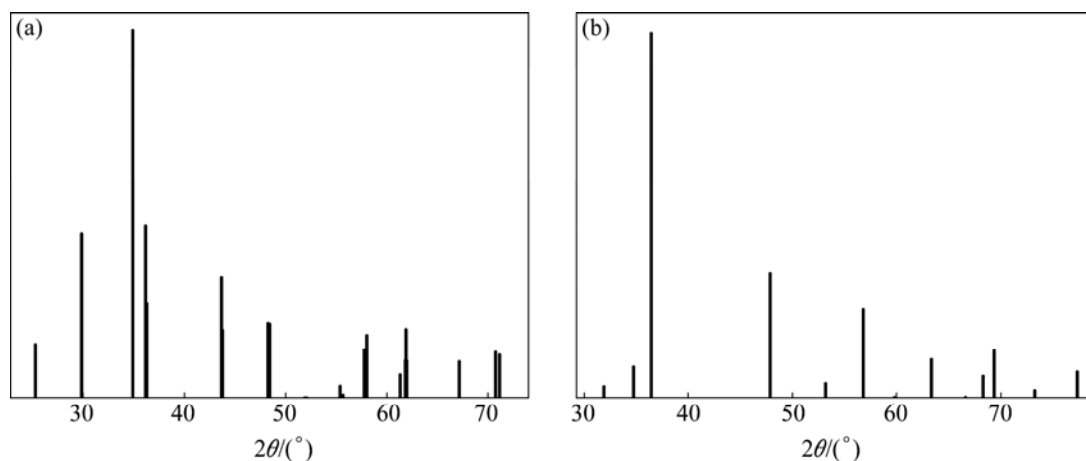


图 2 本计算的 Zr₄Li_{1.38}Si₄ 和 ZrLiSi 的 XRD 谱

Fig. 2 Calculated XRD patterns of Zr₄Li_{1.38}Si₄ and ZrLiSi in this study: (a) Zr₄Li_{1.38}Si₄; (b) ZrLiSi

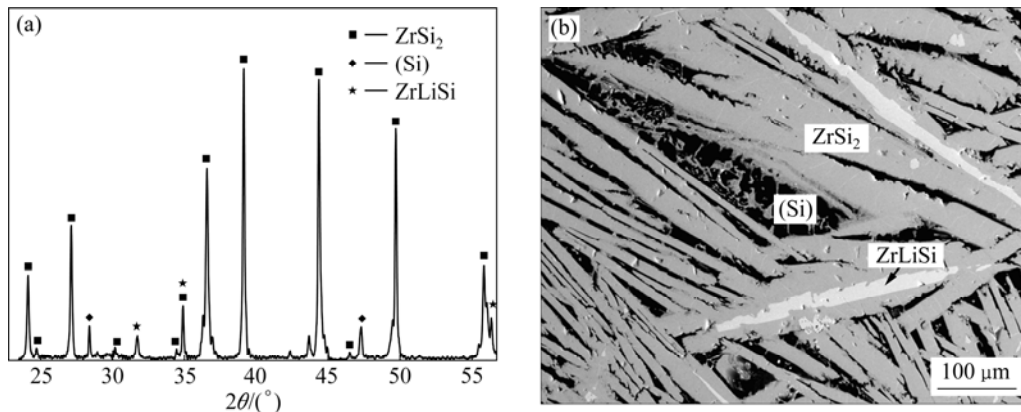


图3 Li-Si-Zr合金A3在470 K退火720 h后的XRD谱及背散射电子图像

Fig. 3 XRD pattern (a) and back scattered electrons micrograph (b) of Li-Si-Zr alloy A3 annealed at 470 K for 720 h

ZATORSKA 等^[6]报道的原子参数采用 Jade6.5 软件计算得到,如图 2(b)所示),由图 3(a)可知,该试样含有单质硅(Si)、ZrSi₂和 ZrLiSi 3 个相。图 3(b)所示为试样 A3 的扫描电镜背散射电子图像,其中,黑色相为(Si)、灰色相为 ZrSi₂、白色相为 ZrLiSi,说明该试样处于(Si)、ZrSi₂和 ZrLiSi 三相平衡。

根据以上检测结果分析可知, Li-Si-Zr 三元系的 470 K 等温截面中存在以下 3 个三相区: Zr₅Si₄+ZrSi+Zr₄Li_{1.38}Si₄、ZrSi₂+ZrSi+Zr₄Li_{1.38}Si₄和(Si)+ZrSi₂+ZrLiSi。本实验中通过 XRD 和 SEM 检测发现该三元系中存在(Si)+ZrSi₂+ZrLiSi 三相平衡,这与 ZATORSKA 等^[6](见图 4(a))所报道的结果不一致。修正后的 Li-Si-Zr 三元系 470 K 实验等温截面如图 4(b)所示。

3 热力学计算

为了获得 Li-Si-Zr 三元系更全面的相图与热力学数据,采用 CALPHAD 方法^[17]对该三元系进行了热力学优化。近来, WANG 等^[18]对 Li-Si 二元系进行了热力学优化,其计算相图如图 5(a)所示; CHEN 等^[19]对 Si-Zr 二元系的热力学优化,如图 5(b)所示。他们的计算结果很好地吻合了相应的实验数据,本实验中直接采用他们报道的热力学参数。BALE^[20]报道了 Li-Zr 二元系的实验相图,而该体系的热力学描述未见报道。本文作者首先以 Li-Zr 二元实验相图^[20]为基础,对该二元系进行了热力学优化;然后结合文献报道的 Li-Si^[18]和 Si-Zr^[19]二元体系的热力学参数,以修正后的 Li-Si-Zr 三元系 470 K 实验等温截面(见图 4(b))为基础,对该三元系进行热力学优化,以期得到该三元系合理的热力学数据库。

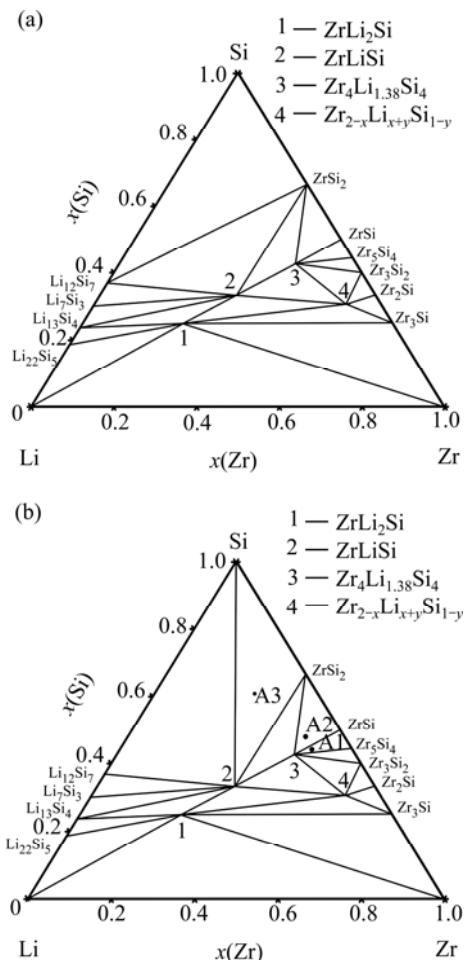


图4 实验测定的 Li-Si-Zr 三元系 470 K 等温截面

Fig. 4 Isothermal section at 470 K of Li-Si-Zr ternary system:

(a) In reference^[6]; (b) In this work

3.1 热力学模型

在优化 Li-Si-Zr 三元系时, Li-Zr 二元系中的液相、BCC、HCP 和 FCC 相采用亚正规溶体模型来描述; Li-Si-Zr 三元系中的三元化合物 ZrLiSi、Zr₄Li_{1.38}Si₄采

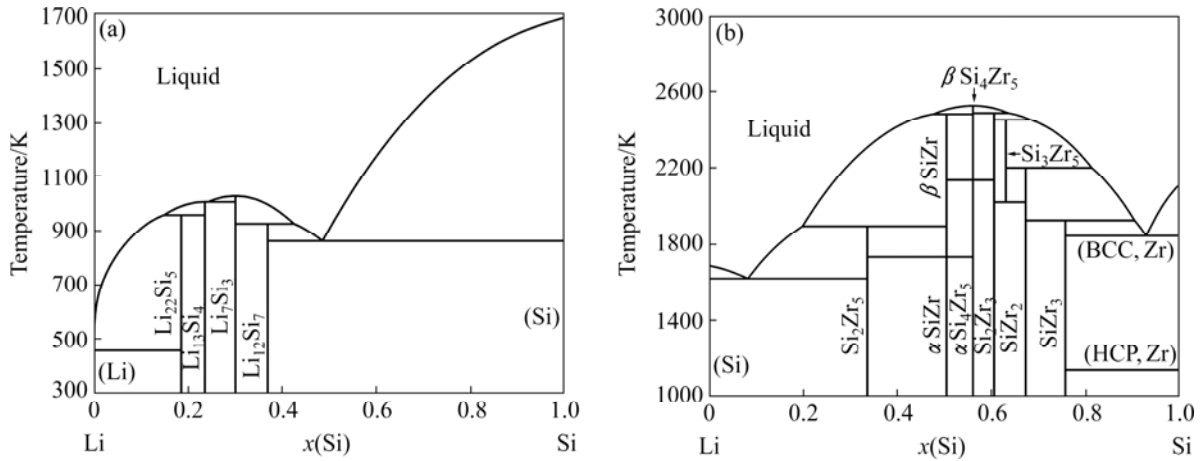


图 5 Li-Si-Zr 三元系中的边际二元相图^[18-19]

Fig. 5 Calculated binary phase diagrams in Li-Si-Zr ternary system^[18-19]: (a) Li-Si system in Ref. [18]; (b) Si-Zr system in Ref. [19]

用化学计量比化合物模型来描述; Li-Si-Zr 三元系中的三元化合物 $ZrLi_2Si$ 、 $Zr_{2-x}Li_{x+y}Si_{1-y}$ ($x=0.17, y=0.12$) 则采用非化学计量比化合物模型来描述。

3.1.1 亚正规溶体模型

Li-Zr 二元系中固溶体 Φ (Φ 分别为液相、BCC-A2、HCP-A3 或 FCC-A1) 的吉布斯自由能表达式为

$$G_m^f = x_{Li} {}^0G_{Li}^f + x_{Zr} {}^0G_{Zr}^f + RT(x_{Li} \ln x_{Li} + x_{Zr} \ln x_{Zr}) + {}^E G_m^f \quad (1)$$

式中: ${}^0G_{Li}^f$ 和 ${}^0G_{Zr}^f$ 分别表示 Li 和 Zr 的标准吉布斯自由能, 各纯组元的标准吉布斯自由能采用 Dinsdale 报道的数据^[21]。 x_{Li} 及 x_{Zr} 分别表示 Li 和 Zr 在固溶相 Φ 中的摩尔百分比; R 为理摩尔气体常数, (1) 式中右边第三项表示理想混合熵对吉布斯自由能的贡献。 ${}^E G_m^f$ 表示超额吉布斯自由能, 用 Redlich-Kister 多项式展开为

$${}^E G_m^f = x_{Li} x_{Zr} \sum_i {}^i L_{Li,Zr}^f (x_{Li} - x_{Zr})^i \quad (2)$$

式中: ${}^i L_{Li,Zr}^f$ 表示二元相互作用参数。

$${}^i L_{Li,Zr}^f = {}^i a + {}^i b T \quad (3)$$

式中: ${}^i a$ 和 ${}^i b$ 为计算优化所得的模型参数, 上标 i ($i=0, 1$ 或 2) 表示该参数的级数。

3.1.2 化学计量比化合物模型

Li-Si-Zr 三元系中的三元化合物 $ZrLi_2Si$ 、 $Zr_4Li_{1.38}Si_4$ 采用化学计量比化合物模型来描述, 其吉布斯自由能表达式如下所示

$$G_{Zr_x Li_y Si_z} = x {}^0G_{Zr} + y {}^0G_{Li} + z {}^0G_{Si} + a + bT \quad (4)$$

式中: ${}^0G_{Zr}$ 、 ${}^0G_{Si}$ 和 ${}^0G_{Li}$ 分别为 Zr、Li、Si 的纯组元

的吉布斯自由能; x 、 y 、 z 表示化合物中各组元比率; a 和 b 为本工作计算优化所得热力学参数。

3.1.3 非化学计量比化合物模型

Li-Si-Zr 三元系中的三元化合物 $ZrLi_2Si$ 、 $Zr_{2-x}Li_{x+y}Si_{1-y}$ 均采用非化学计量比化合物模型来描述, 用亚点阵模型表示为 $(Zr)_x(Li,Zr)_ySi_z$, 其吉布斯自由能表达式如下:

$$\begin{aligned} G^\phi = & \sum_i \sum_j \sum_k y_i^I y_j^{II} y_k^{III} {}^0G_{i,j,k} + xRT \sum_i y_i^I \ln y_i^I + \\ & yRT \sum_j y_j^{II} \ln y_j^{II} + zRT \sum_k y_k^{III} \ln y_k^{III} + \\ & \sum_{i_1, j_2} \sum_j \sum_k [y_{i_1}^I y_{i_2}^I y_j^{II} y_k^{III} \sum_n {}^n L_{i_1, i_2; j, k} (y_{i_1}^I - y_{i_2}^I)^n] + \\ & \sum_{i, j_1, j_2} \sum_k [y_i^I y_{j_1}^{II} y_{j_2}^{II} y_k^{III} \sum_n {}^n L_{i; j_1, j_2; k} (y_{j_1}^{II} - y_{j_2}^{II})^n] \\ & \sum_{i, j} \sum_{k_1, k_2} [y_i^I y_j^{II} y_{k_1}^{III} y_{k_2}^{III} \sum_n {}^n L_{i; j, k_1, k_2} (y_{k_1}^{III} - y_{k_2}^{III})^n] \end{aligned} \quad (5)$$

式中: ${}^0G_{i,j,k}$ ($i, j, k=Zr, Li$ 或 Si) 为 Φ 相的吉布斯自由能; Φ 在这里为 $ZrLi_2Si$ 或 $Zr_{2-x}Li_{x+y}Si_{1-y}$; ${}^n L_{i_1, i_2; j, k}$ 表示第二亚点阵为 j, k 时 i_1 与 i_2 (i_1, i_2 表示 Zr, Li 或 Si, 但是 $i_1 \neq i_2$) 的相互作用参数; ${}^n L_{i; j_1, j_2; k}$, ${}^n L_{i; j, k_1, k_2}$ 以此类推。 y_i 表示元素 i 在亚点阵中占位数的分数, 上标中 I、II、III、分别表示第一、第二、第三亚点阵。

3.2 计算结果及讨论

采用 Thermo-Calc 软件^[22], 对 Li-Zr 二元系及 Li-Si-Zr 三元系进行了热力学优化。得到的热力学参数分别见表 3 和 4, 表中热力学参数单位默认为 J/mol。

表3 Li-Si-Zr 体系中熔体相及 Li-Si 化合物的热力学参数

Table 3 Thermodynamic parameters solution phases and Li-Si compounds in Li-Si-Zr ternary system

Phase	Thermodynamic parameter/(J·mol ⁻¹)	Reference
Liquid	${}^0L_{Li,Si}^{Liq} = -96229.2 + 7.7643T$	[18]
	${}^1L_{Li,Si}^{Liq} = -36662.8 + 21.9999T$	[18]
	${}^2L_{Li,Si}^{Liq} = 14202.8$	[18]
	${}^0L_{Si,Zr}^{Liq} = -200000 + 15.2454163T$	[19]
	${}^1L_{Si,Zr}^{Liq} = 10.001T$	[19]
	${}^0L_{Li,Zr}^{Liq} = 80922.4 + 10.0357T$	This work
	${}^1L_{Li,Zr}^{Liq} = 300.8$	This work
BCC	${}^0L_{Li,Zr:Va}^{BCC} = 85000$	This work
FCC	${}^0L_{Li,Zr:Va}^{FCC} = 9000$	This work
HCP	${}^0L_{Li,Zr:Va}^{HCP} = 85000$	This work
Li ₂₂ Si ₅	${}^0G_{Li,Si}^{Li_{22}Si_5} = -730215 + 1403.2413T - 220.0727664T \ln T - 1.113647454T^2 + 6.21622 \times 10^{-4}T^3 + 956935.674T^{-1} + 956935.674T^{-1} - 2.15241 \times 10^{-7}T^4 (298 K < T < 900 K) = -1086346.111 + 7022.06951857358T - 1084.125187T \ln T (900 K < T < 1800 K)$	[18]
Li ₁₃ Si ₄	${}^0G_{Li,Si}^{Li_{13}Si_4} = -530510.5 + 1182.9824T - 195.203826T \ln T - 0.444458634T^2 + 0.000176596T^3 + 245969.2345T^{-1} - 4.79768 \times 10^{-8}T^4 (298 K < T < 1000 K) = -699391.7323 + 3830.9397T - 599.7736T \ln T (1000 K < T < 1800 K)$	[18]
Li ₇ Si ₃	${}^0G_{Li,Si}^{Li_7Si_3} = -290956 + 178.172T - 25.499093T \ln T - 0.485357655T^2 + 2.23419 \times 10^{-4}T^3 - 421905.535T^{-1} - 5.64805 \times 10^{-8}T^4 (223 K < T < 1100 K) = -434530.7235 + 2410.6881T - 374.0714T \ln T (1100 K < T < 1800 K)$	[18]
Li ₁₂ Si ₇	${}^0G_{Li,Si}^{Li_{12}Si_7} = -551495.9 + 1352.8608T - 229.555359T \ln T - 0.433418633T^2 + 0.000121119T^3 + 325569.446T^{-1} - 2.38286 \times 10^{-8}T^4 (298 K < T < 1100 K) = -743901.2423 + 4347.2881T - 683.8089T \ln T (1100 K < T < 1800 K)$	[18]

图 6 所示为计算得到的 Li-Zr 二元相图，计算结果与实验相图^[20]符合得较好。

图 7(a)所示为 Li-Si-Zr 三元系 470K 等温截面的计算结果。由于实验相图中忽略了 ZrLi₂Si 和 Zr_{2-x}Li_{x+y}Si_{1-y} 的固溶度，而进行相图优化计算时考虑了二者的溶解度，因此，计算相图中 ZrLi₂Si+ZrLiSi 以及 ZrLi₂Si+Li(liq)两个两相区范围较实验相图有所增大(图中用灰色阴影线标示)，ZrLi₂Si+Zr₃Si 两相区范围有所缩小，相应的包含 ZrLi₂Si 化合物的所有三相区成分有所变化。同理，与 Zr_{2-x}Li_{x+y}Si_{1-y} 相关的两相区及三相区成分范围也有相应的变化。但通过计算相图与实验相图的比较可发现，两者同样具有的 19 个三相区，且组成各三相区的相平衡关系一致，考虑到实验误差，本实验中优化结果可以接受。为理解 Li-Si-Zr 三元系从高温到低温的平衡反应过程，本实验中计算

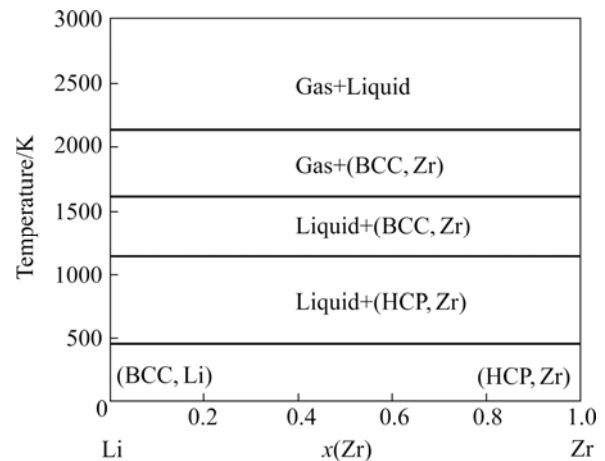


图 6 计算的 Li-Zr 二元相图

Fig. 6 Calculated Li-Zr binary phase diagram in this work

了 Li-Si-Zr 三元系液相投影面(见图 7(b)), 表 5 中列出了该投影面中的 8 个四相平衡反应。

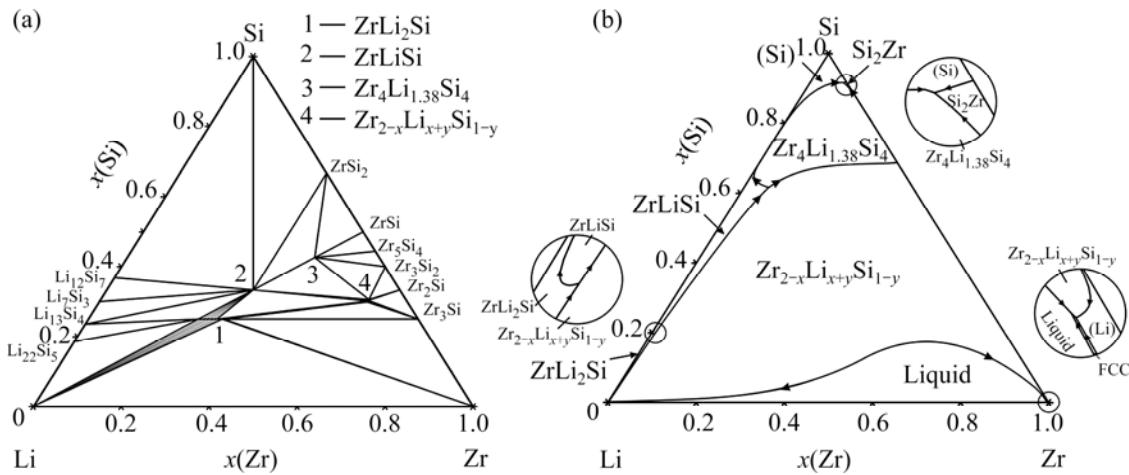


图 7 计算的 Li-Si-Zr 三元系 470K 等温截面以及液相面投影图

Fig. 7 Calculated phase diagram and liquidus projection of Li-Si-Zr ternary system in this work: (a) 470 K isothermal section; (b) Liquidus projection

表 4 Li-Si-Zr 体系中 Si-Zr 二元化合物及 Li-Si-Zr 三元化合物的热力学参数

Table 4 Thermodynamic parameters of Si-Zr binary compounds and Li-Si-Zr ternary compounds in Li-Si-Zr system

Phase	Thermodynamic parameter/(J·mol ⁻¹)	Reference
Si ₂ Zr	${}^0G_{Si,Zr}^{Si_2Zr} = -222061.041 + 368.126626T - 63.16867T \ln T - 7.67745 \times 10^{-3}T^2 - 1.972048 \times 10^{-11}T^3 + 139751.17T^{-1}$	[19]
α SiZr	${}^0G_{Si,Zr}^{\alpha SiZr} = -194314.133 + 262.834906T - 45.186317 \ln T - 4.393865 \times 10^{-3}T^2 + 5.49699 \times 10^{-11}T^3 + 148517.5T^{-1}$	[19]
β SiZr	${}^0G_{Si,Zr}^{\beta SiZr} = -181206.562 + 255.269353T - 45.186317 \ln T - 4.393865 \times 10^{-3}T^2 + 5.49699 \times 10^{-11}T^3 + 148517.5T^{-1}$	[19]
α Si ₄ Zr ₅	${}^0G_{Si,Zr}^{\alpha Si_4Zr_5} = -916070.026 + 1437.79115T - 240.2567 \ln T - 0.0109481T^2 + 6.591183 \times 10^{-7}T^3 + 2006425T^{-1}$	[19]
β Si ₄ Zr ₅	${}^0G_{Si,Zr}^{\beta Si_4Zr_5} = -900000 + 1430.25526T - 240.2567 \ln T - 0.0109481T^2 + 6.591183 \times 10^{-7}T^3 + 2006425T^{-1}$	[19]
Si ₂ Zr ₃	${}^0G_{Si,Zr}^{Si_2Zr_3} = -510000 + 845.501159T - 140.1037 \ln T - 0.003701T^2 + 1.028333 \times 10^{-7}T^3 + 1167755T^{-1}$	[19]
Si ₃ Zr ₅	${}^0G_{Si,Zr}^{Si_3Zr_5} = -722777.555 + 1052.01447T - 877 \ln T - 0.0161754T^2 + 5.22283 \times 10^{-8}T^3 + 381210T^{-1}$	[19]
SiZr ₂	${}^0G_{Si,Zr}^{SiZr_2} = -286874.745 + 422.938902T - 72.432447 \ln T - 5.46177 \times 10^{-3}T^2 - 4.0442633 \times 10^{-9}T^3 + 306730.45T^{-1}$	[19]
SiZr ₃	${}^0G_{Si,Zr}^{SiZr_3} = -319952.243 + 478.254739T - 82.3287 \ln T - 0.0263963T^2 + 1.54326 \times 10^{-6}T^3 - 34700T^{-1}$	[19]
ZrLi ₂ Si	${}^0G_{Zr,Li,Si}^{ZrLi_2Si} = -272000 + {}^0G_{Zr}^{HCP} + 2{}^0G_{Li}^{BCC} + {}^0G_{Si}^{Diamond}$	This work
ZrLiSi	${}^0L_{Zr,Li,Zr,Si}^{ZrLiSi} = -345000 + 3{}^0G_{Zr}^{HCP} + {}^0G_{Si}^{Diamond}$	This work
Zr ₄ Li _{1.38} Si ₄	${}^0G_{Zr,Li,Si}^{Zr_4Li_{1.38}Si_4} = -840000 + 4{}^0G_{Zr}^{HCP} + 1.38{}^0G_{Li}^{BCC} + 4{}^0G_{Si}^{Diamond}$	This work
Zr _{2-x} Li _{x+y} Si _{1-y}	${}^0G_{Zr,Li,Si}^{Zr_{2-x}Li_{x+y}Si_{1-y}} = -238000 + 1.83{}^0G_{Zr}^{HCP} + 0.29{}^0G_{Li}^{BCC} + 0.88{}^0G_{Si}^{Diamond}$	This work
(x=0.17, y=0.12)	${}^0L_{Zr,Li,Zr,Si}^{Zr_{1.83}Li_{0.29}Si_{0.88}} = -326000 + 3{}^0G_{Zr}^{HCP} + 2{}^0G_{Si}^{Diamond}$	This work

表5 本实验中计算的液相参与的四相平衡反应及其反应温度与成分

Table 5 Calculated temperatures and compositions of invariant equilibria with liquid phase

Invariant equilibria	Type	Temperature/°C	x/%	
			Si	Zr
$L + \text{Zr}_{2-x}\text{Li}_{x+y}\text{Si}_{1-y} + \text{ZrLiSi} = \text{ZrLi}_2\text{Si}$	P1	3177	19.55	0.75
$L + \text{Zr}_{2-x}\text{Li}_{x+y}\text{Si}_{1-y} = \text{Zr}_4\text{Li}_{1.38}\text{Si}_4 + \text{ZrLiSi}$	U1	2878	61.64	5.59
$\beta\text{Si}_4\text{Zr}_5 + L = \beta\text{SiZr} + \text{Zr}_{2-x}\text{Li}_{x+y}\text{Si}_{1-y}$	U3	2207	52.79	47.21
$\beta\text{SiZr} + \text{Zr}_4\text{Li}_{1.38}\text{Si}_4 = L + \text{Zr}_{2-x}\text{Li}_{x+y}\text{Si}_{1-y}$	U5	1975	69.17	30.83
$(\text{Zr}) + \text{Zr}_{2-x}\text{Li}_{x+y}\text{Si}_{1-y} = \text{FCC_A1} + L$	U7	1844	0.65	99.03
$\beta\text{SiZr} + L = \text{Si}_2\text{Zr} + \text{Zr}_4\text{Li}_{1.38}\text{Si}_4$	U9	1620	80.33	19.65
$(\text{Si}) + \text{Si}_2\text{Zr} + \text{Zr}_4\text{Li}_{1.38}\text{Si}_4 = L$	P2	1342	91.55	7.61
$(\text{Si}) + \text{ZrLiSi} = L + \text{Zr}_4\text{Li}_{1.38}\text{Si}_4$	U10	1117	70.56	0.004

4 结论

1) 采用合金法利用 SEM、XRD 等检测手段对 Li-Si-Zr 三元系的 470 K 等温截面进行了补充实验研究, 检测到 3 个三相平衡区: $\text{Zr}_5\text{Si}_4 + \text{ZrSi} + \text{Zr}_4\text{Li}_{1.38}\text{Si}_4$ 、 $\text{ZrSi}_2 + \text{ZrSi} + \text{Zr}_4\text{Li}_{1.38}\text{Si}_4$ 和 $(\text{Si}) + \text{ZrSi}_2 + \text{ZrLiSi}$, 修正了文献中报道的实验关系。

2) 采用 CALPHAD 方法, 应用 Thermo_Calc 软件, 以实验相图数据为基础, 采用合理的热力学模型对 Li-Si-Zr 三元系进行了热力学优化计算, 计算结果与实验数据符合得较好, 获得一套较合理的热力学参数。

REFERENCES

- [1] HUGGINS R A. Lithium alloy negative electrodes formed from convertible oxides[J]. Solid State Ionics, 1998, 113: 57-67.
- [2] PARK S E, KIM B E, LEE S W, LEE J K. Employment of encapsulated Si with mesoporous TiO_2 layer as anode material for lithium secondary batteries[J]. Transactions of Nonferrous Metals Society of China, 2009, 19(4): 1023-1026.
- [3] 苏明如, 王志兴, 郭华军, 李新海, 黄思林, 甘雷. 粘结剂对锂离子电池 Si/C 复合材料性能的影响[J]. 中国有色金属学报, 2013, 23(4): 1059-1064.
SU Ming-ru, WANG Zhi-xing, GUO Hua-jun, LI Xin-hai, HUANG Si-lin, GAN Lei. Effect of binders on performances of Si/C composites for Li-ion batteries[J]. The Chinese Journal of Nonferrous Metals, 2013, 23(4): 1059-1064.
- [4] 杨绍斌, 刘远鹏. 锂离子电池硅基负极材料研究进展 [J]. 材料导报, 2011, 25(9): 140-143.
YANG Shao-bin, LIU Yuan-peng. Research Progress of Silicon Based Anode Materials for Lithium-ion Batteries[J]. Materials Review, 2011, 25(9): 140-143.
- [5] LEE S J, LEE H Y, BAIK H K, LEE S M. Si-Zr alloy thin-film anodes for microbatteries[J]. Journal of Power Sources, 2003, 119/121: 113-116.
- [6] ZATORSKA G M, DMYTRIV G S, PAVLYUK V V, DAVYDOV V M, BARTOSZAK-ADAMSK E, JASKOLSKI M. Crystallographic investigation of the ternary compounds in the Zr-Li-Si system[J]. Journal of Light Metals, 2002, 2(2): 77-80.
- [7] FRANK U, MULLER W, SCHOOFER H. On the knowledge of the $\text{Li}_{22}\text{Si}_5$ phase[J]. Z Naturforsch B, 1975, 30(1): 10-13.
- [8] SCHAFFER H, AXEL H, WEISS A. New phases in the Li-Si system[J]. Z Naturforsch B, 1965, 20(12): 1302.
- [9] SCHAFFER H, AXEL H, MENGES E. Crystal structure of the phase Li_7Si_2 [J]. Z Naturforsch B, 1965, 20(10): 1010.
- [10] SCHNERING N G, NESPER R, TEBBE K. Structure and properties of $\text{Li}_{14}\text{Si}_6(\text{Li}_{2.33}\text{Si})$, the violet phase in the lithium-silicon system[J]. Germany Z Metallkd, 1980, 71(6): 357-363.
- [11] AXEL H, SCHAFFER H, WEISS A. The crystal structure of lithium silicide Li_2Si [J]. Angewandte Chemie International Edition in English, 1965, 4(4): 358.
- [12] VAUGHAN P A, BRACUTI A. The crystal structure of zirconium disilicide[C]// Abstract of Paper Presented at Meeting of the American Crystallographic Association. Pasadena: Program Summer, 1955(8/9): 8-9.
- [13] KARPINSKII O G, EVSEEV B A. Crystal structure of the compound ZrSi [J]. Bulletin of the Academy of Sciences of the USSR, 1965, 1(3): 337-339.

- [14] KARPINSKII O G, EVSEEV B A. Crystal structure of the compound Zr_5Si_4 [J]. *Inorg Mater*, 1968, 4(8): 1094–1099.
- [15] SCHOB O, NOWOTNY H, BENESOVSKY F. Structure Determination of Some Phases in the Systems: Zr-Al-Si and Hf-Al-Si { $ZrAl_3$ (Si); $ZrSi$ (Al); Hf (Si,Al); Zr_3Si_2 ; Hf_3Si_2 }[J]. *Monatsh Chem*, 1961, 92(6): 1218–1226.
- [16] HAVINGA E E, DAMSMA H, HOKKELING P. Compounds and pseudo-binary alloys with the $CuAl_2$ (C16)-type structure I. Preparation and X-ray results[J]. *Journal of the Less Common Metals*, 1972, 27(2): 169–186.
- [17] KAUFMAN L, BERNSTEIN H. Computer calculation of phase diagrams with special reference to refractory metals[M]. New York: Academic Press, 1970.
- [18] WANG Pei-sheng, KOZLOV A, THOMAS D, MERTENS F, RAINER S F. Thermodynamic analysis of the Li-Si phase equilibria from 0 K to liquidus temperatures[J]. *Intermetallics*, 2013, 42: 137–145.
- [19] CHEN Hong-mei, ZHENG Feng, LIU Hua-han, LIU Li-bin, JIN Zhan-peng. Thermodynamic assessment of B-Zr and Si-Zr binary systems[J]. *Journal of Alloys and Compounds*, 2009, 468(1): 209–216.
- [20] BALE C W. The Li-Zr (lithium-zirconium) system[J]. *Journal of Phase Equilibria*, 1987, 8(1): 48–50.
- [21] PINSDALE A T. SGTE data for pure elements[J]. *CALPHAD*, 1991, 15(4): 317–425.
- [22] SUNDMAN B, JANSSON B, ANDERSSON J O. Calphad-computer coupling of phase diagrams and thermochemistry[J]. *Calphad*, 1985, 9: 153–190.

(编辑 龙怀中)